

© А.Г. ОБУХОВ

aobukhov@tsogu.ru

УДК 519.63 + 533.6

### МАТЕМАТИЧЕСКОЕ МОДЕЛИРОВАНИЕ И ЧИСЛЕННЫЕ РАСЧЕТЫ ТЕЧЕНИЙ В ПРИДОННОЙ ЧАСТИ ТОРНАДО\*

**АННОТАЦИЯ.** В работе модифицированным методом характеристик численно строятся решения системы уравнений газовой динамики в условиях действия силы Кориолиса. Эти решения моделируют плоские изэнтропические течения идеального политропного газа, которые возникают при заданном стоке на окружности ненулевого радиуса.

**SUMMARY.** In this work the solutions of gas dynamic system equations construct in numerical form by a modified method of the characteristic in condition the force of Coriolis. This solutions model the plane isentropic flows of an ideal gas, which increase on a circ with a nonzero radius at the given drain.

**КЛЮЧЕВЫЕ СЛОВА.** Система уравнений газовой динамики, сила Кориолиса, плоские спиральные течения, торнадо.

**KEY WORDS.** System of equation of gas dynamics, worse of Coriolis, plane spiral flows, tornado.

В природе часто встречаются восходящие закрученные потоки (ВЗП) воздуха, примерами которых могут служить смерчи и торнадо.

В работах [1], [2] факт возникновения закрутки в придонной части и ее направление обоснованы с помощью построения соответствующих решений системы уравнений газовой динамики (СУГД) при учете действия силы Кориолиса (СК). Начальная стадия формирования ВЗП и его закрутка в соответствующем направлении подтверждены также экспериментами [3].

Из приведенной в [1] схемы течения газа в ВЗП следует, что закрутка воздуха в придонной части имеет принципиальное значение для течения во всем ВЗП. Целью данной работы является численное построение решений достаточно простой математической модели, с помощью которого можно описать течения в придонной части ВЗП и обосновать степень влияния на них СК.

СУГД для изэнтропических плоских течений политропного газа при учете силы Кориолиса имеет следующий вид [1], [4]:

$$\begin{cases} c_t + uc_r + \frac{(\gamma - 1)}{2} c \left( u_r + \frac{u}{r} \right) = 0, \\ u_t + uu_r - \frac{v^2}{r} + \frac{2}{(\gamma - 1)} cc_r = av, \\ v_t + uv_r + \frac{uv}{r} = -au. \end{cases} \quad (1)$$

\* Работа выполнена при поддержке РФФИ, проект 11-01-00198.

В системе (1):  $t$  – время; в плоскости переменных  $x, y$  введена полярная система координат  $(r, \varphi)$  и предполагается, что  $\partial/\partial\varphi=0$ ;  $c=\rho^{(\gamma-1)/2}$  – скорость звука газа;  $\gamma=\text{const} > 1$  – показатель политропы газа в уравнении состояния  $p=\rho^\gamma/\gamma$ ;  $u, v$  – радиальная и окружная составляющие вектора скорости газа соответственно;  $a=2\Omega\sin\psi$  – параметр Кориолиса;  $\Omega$  – модуль угловой скорости вращения Земли;  $\psi$  – широта точки  $O$  на поверхности Земли, в которой находится начало координатной плоскости  $xOy$ , касающейся поверхности Земли в точке  $O$  и вращающейся вместе с Землей. Если точка  $O$  лежит в Северном полушарии, то  $0 < \psi \leq \pi/2$ . Если в Южном, то  $-\pi/2 \leq \psi < 0$ . Если точка  $O$  лежит на экваторе, то  $\psi=0$ . В системе (1) стандартным образом введены безразмерные переменные с учетом равенств:  $u_{00}=r_{00}/t_{00}=c_{00}$ .

Пусть в начальный момент времени  $t=0$  правее точки  $r=r_0 > 0$  (см. рис. 1) задан однородный покоящийся газ, скорость звука в котором равна единице.

И пусть с момента  $t=0$  в точке  $r=r_0$  по заданному закону  $u|_{r=r_0} = u_*(t)$  начинается плавный ( $u_*(0) = 0$ ) радиальный сток ( $u'_*(0) < 0$ ) газа.

Для системы (1) ставятся условия:

$$c(t, r)|_{C^+} = 1; \quad u(t, r)|_{C^+} = 0; \quad v(t, r)|_{C^+} = 0; \quad u(t, r)|_{r=r_0} = u_*(t). \quad (2)$$

Первые три условия из соотношений (2) обеспечивают непрерывное приращение решения задачи (1), (2) через звуковую характеристику  $C^+$ :  $r=r_0+t$  к однородному покоящемуся газу. Четвертое условие в (2), задающее закон стока газа при  $r=r_0$ , обеспечивает единственность решения поставленной задачи с данными на звуковой характеристике  $C^+$ . Схема течения в задаче о плавном стоке представлена на рис. 1, где область покоящегося газа лежит ниже прямой  $C^+$  и выше оси  $t=0$ ,  $G_0$  – область определения решения задачи (1), (2).

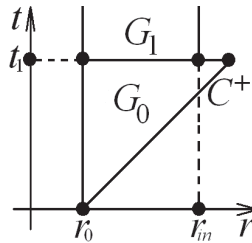


Рис. 1

Задача (1), (2) при условии аналитичности функции  $u_*(t)$  имеет в некоторой окрестности точки  $(t=0, r=r_0)$  единственное аналитическое решение, в котором при  $t > 0$  возникает закрутка в соответствующем направлении: в положительном при  $\psi > 0$  и в отрицательном при  $\psi < 0$  [2].

Если в системе (1) не учитывать влияние СК, т.е. положить  $\Omega=0$ , то тогда  $a=0$  и в решении задачи (1), (2) окружная скорость будет тождественным нулем:  $v \equiv 0$ . Следовательно, в случае отсутствия действия СК никакой закрутки

газа при радиальном стоке не возникает. Поэтому возникновение закрутки газа в задаче о плавном радиальном стоке есть следствие только действия СК.

В работах [1], [5] построено стационарное решение

$$c=c^o(r), u=u^o(r), v=v^o(r)$$

системы (1), когда в ней положено  $\partial/\partial\varphi=0$ . Для построения этого решения при некотором значении  $r=r_{in}$ ,  $r_{in} > r_0$  ставятся условия

$$c^o(r)|_{r=r_{in}} = c_{in} > 0; \quad u^o(r)|_{r=r_{in}} = u_{in} < 0; \quad v^o(r)|_{r=r_{in}} = 0, \quad (3)$$

которые единственным образом определяют стационарное течение. При этом функция  $v^o(r)$  выписывается в явном виде и при  $r=r_{in}$  закрутки газа нет.

Из условий (3) следует, что в стационарном решении на окружности  $r=r_{in}$  осуществляется приток газа извне (из области с  $r_{in} > r_0$ ), поскольку  $u_{in} < 0$ . Восстановление линии тока стационарного течения в виде зависимости  $\varphi=\varphi(r)$  осуществляется численно при построении решения задачи Коши:

$$\frac{d\varphi}{dr} = \frac{v^o}{ru^o}; \quad \varphi(r_{in})=\varphi_o; \quad \varphi_o = \text{const}. \quad (4)$$

Приведенная в [2] теорема обеспечивает существование нестационарного течения со стоком в некоторых окрестностях как точки ( $t=0$ ,  $r=r_0$ ), так и звуковой характеристики  $C^*$ . В том числе и в моменты времени, близкие к моменту начала плавного стока из однородного покоящегося газа, сопровождающегося возникновением закрутки газа. Стационарное спиральное течение с заданным притоком и с необходимо поставленным стоком моделирует нестационарное течение при очень больших значениях времени.

Описание спирального течения со стоком от начального момента  $t=0$  до достаточно больших значений времени возможно численно. И при построении такого течения определится в том числе его возможный выход на стационарный режим. Пусть при некоторых значениях  $r_0$ ,  $r_{in}$ , где  $0 < r_0 \leq r \leq r_{in}$ , известно стационарное решение:  $c^o(r)$ ,  $u^o(r)$ ,  $v^o(r)$ .

Решение нестационарной задачи как решение системы (1) строится в областях  $G_0$ ,  $G_1$ , представленных на рис. 1. При  $0 \leq t \leq t_1$  в области  $G$  решается задача (1), (2) с заданной функцией  $u_*(t)$ :

$$u|_{r=r_0} = u_*(t); \quad u_*(0) = 0; \quad u'_*(0) < 0; \quad \lim_{t \rightarrow +\infty} u_*(t) = u^o(r_0). \quad (5)$$

Здесь  $t_1$  есть тот момент времени, в который рассчитанная радиальная скорость в точке  $r=r_{in}$  становится приближенно равной значению  $u^o(r_{in})$  из стационарного течения:

$u(t, r)|_{t=t_1, r=r_{in}} = u^o(r_{in}) = u_{in}$ . Рассчитанные к этому моменту времени  $t=t_1$  при  $r_0 \leq r \leq r_{in}$  значения газодинамических параметров обозначаются следующим образом:

$$U(t, r)|_{t=t_1} = U_{00}(r). \quad (6)$$

После момента времени  $t=t_1$  решение системы (1) строится в полосе  $G_1: \{t \geq t_1; r_0 \leq r \leq r_{in}\}$ . На левой границе этой полосы  $G_1$ , т.е. при  $r=r_0$  продолжает ставиться заданный непрерывный сток с помощью соотношения (5). На нижней

границе полосы  $G_1$ , т.е. при  $t=t_1$  задаются условия (6). На правой границе  $G_1$ , т.е. при  $r=r_{in}$  задаются стационарные значения газодинамических параметров, определяемые значениями (6), т.е.:

$$\mathbf{U}(t, r)|_{r=r_{in}} = \mathbf{U}_{00}(r_{in}). \quad (7)$$

Для нестационарного течения мгновенные линии тока в заданный момент времени  $t=\text{const}$  также определяются при решении задачи (4).

В работе [5] описана одна модификация известного метода характеристик [6], [7] и приведен пример расчета одного нестационарного плоского спирального течения со стоком в областях  $G_0$  и  $G_1$  с учетом начально-краевых условий (2), (5)-(7).

Цель данной работы – привести результаты расчетов нестационарных плоских спиральных течений со стоком в областях  $G_0$ ,  $G_1$  по методике из работы [5]. Для того чтобы в рамках предложенного в книге [1] подхода математически смоделировать течения газа в придонной части торнадо, была использована так называемая шкала Фудзиты [8] в виде таблицы 1.

Таблица 1

Класс торнадо	Скорость ветра, м/с	Ширина следа, м	Средняя длина пути, км	Среднее время жизни, мин
F0	19-32	5-15	1,9	2,4
F1	33-50	16-50	4,2	5,2
F2	51-70	51-160	8,7	10,8
F3	71-92	161-508	16,1	20,0
F4	93-116	547-1488	43,8	54,4
F5	117-142	1609-4989	57,1	71,0

Значения скорости ветра и ширины следа, половина которой взята за значение  $r_0$  (радиуса окружности стока), определялись как средние значения второго и третьего столбцов таблицы 1. Значения  $r_{in}$  – радиуса окружности, на которой осуществляется приток газа в придонную часть, – вычислялись по следующему правилу. Полагалось, что средние значения скорости ветра дают значения  $v^\circ(r_0)$  окружной скорости на окружности стока в стационарном решении. Тогда по величинам  $v^\circ(r_0)$ ,  $r_0$  и с помощью явного вида функции  $v^\circ(r)$  определялось значение  $r=r_{in}$ , при котором равна нулю окружная скорость в стационарном решении. Такой выбор исходных параметров  $r_0$ ,  $r_{in}$ ,  $v^\circ(r_0)$  и  $v^\circ(r_{in})=0$  позволяет полностью учесть информацию о данных натуральных наблюдений торнадо разных классов, приведенную в таблице 1. В приведенных расчетах брались такие значения  $v^\circ(r_{in})$ , чтобы модуль значения  $v^\circ(r_0)$  был меньше значения  $v^\circ(r_0)$ , и чтобы число оборотов линий тока стационарного течения вокруг точки  $r=0$  было не очень большим (2-4).

Ниже более детально описано построение течения, соответствующего классу торнадо F3. Значения некоторых констант и параметры предельного ста-

ционарного течения в придонной части торнадо класса  $F3$  приведены в табл. 2, где  $h$  и  $\tau$  – шаги по пространственной и временной переменным.

Таблица 2

Параметр	Размерное значение	Безразмерное значение
$c_{00}$	333 м/с	1
$r_{00}$	16000 м	1
$t_{00} = r_{00}/c_{00}$	48,048 с	1
$\Omega$	0,0000727 с <sup>-1</sup>	0,003492
$\sin\psi$	0,7071	0,7071
$r_{in}$	16000 м	1
$r_0$	160 м	0,01
$c(r_{in})$	333 м/с	1
$c(r_0)$	330,6 м/с	0,9928
$u(r_{in})$	-0,333 м/с	-0,001
$u(r_0)$	-34,53 м/с	-0,10368
$v(r_{in})$	0 м/с	0
$v(r_0)$	82,21 м/с	0,24689
$h$	16,0 м	0,001
$\tau$	0,024024 с	0,0005

Функция  $u_*(t)$ , задающая значения радиальной скорости на окружности стока при  $r=r_0$ , полагалась следующей:

$$u(t, r)|_{r=r_0} = u_*(t) = u^0(r_0)(1 - e^{-Mt}), \quad (8)$$

где  $M$  – постоянное положительное число. Такой закон изменения функции  $u_*(t)$  обеспечивает в точке  $r=r_0$  при  $t>0$  плавное изменение скорости стока от нулевого значения до  $v^0(r_0)$  – значения в стационарном течении радиальной скорости на окружности стока.

После построения течения в треугольнике  $G_0$  решение строится в полосе  $G_1$ , полагая, что  $t_1=0$ , поскольку СУГД инвариантна относительно сдвига по времени. В качестве начальных функций  $U_{00}(r)$  (см. условия (6)) брались результирующие значения параметров газа в области  $G_0$ .

Характерным поведением параметров газа для нестационарных расчетов является формирование нескольких локальных всплесков плотностей газа, которые со скоростью звука распространяются в сторону увеличения радиуса. Синхронно происходят и соответствующие изменения других газодинамических параметров.

Выход на стационарные значения газодинамических параметров для торнадо типа  $F3$  наступает к моменту времени, соответствующему 10 ч. Все газодинамические параметры к этому моменту времени принимают стационарные значения  $c^0(r)$ ,  $u^0(r)$ ,  $v^0(r)$  и больше не изменяются.

Поскольку восстановление течения в треугольнике  $G_0$  происходит очень быстро, массовые расчеты проводились только в полосе  $G_1$  (рис. 1) и в качестве функций  $U_{00}(r)$  условия (6) достаточно было брать постоянные функции  $c=1$ ,  $u=u^o(r_{in})$ ,  $v=0$ , а в качестве закона стока такую функцию

$$u(t, r)|_{r=r_0} = u_*(t) = u^o(r_0) + [u^o(r_{in}) - u^o(r_0)]e^{-Mt}.$$

Видимая разница в поведении газодинамических параметров двух таких вариантов расчета практически исчезает к 10000 временному шагу, что соответствует примерно 5 мин. размерного времени.

Точное стационарное решение  $U^o(r)$  во всех нестационарных расчетах восстанавливалось с относительной погрешностью менее 1%.

В табл. 3 приведены времена выхода на стационарные значения газодинамических параметров для всех рассмотренных классов торнадо, а также значения газодинамических параметров предельного стационарного течения на окружности стока, т.е. при  $r=r_0$ , а также значения  $r_0$ ,  $r_{in}$ .

Таблица 3

Класс торнадо	Время выхода на стационар, ч.	$c^o(r_0)$ , м/с	$u^o(r_0)$ , м/с	$v^o(r_0)$ , м/с	$r_0$ , м	$r_{in}$ , км
F0	3.1	332,8	-11,1	25,7	4,5	1,5
F1	4.6	332,5	-16,8	38,0	16,3	3,7
F2	6.8	331,7	-24,2	60,2	53,3	8,2
F3	10.0	330,6	-34,5	82,2	160,0	16
F4	13.3	329,5	-37,9	102,8	499,2	32
F5	13.6	327,5	-41,8	128,4	1638	65

Во всех расчетах безразмерные значения шагов по пространственной и временной переменным были такими:  $h=0,001$ ,  $\tau=0,0005$ .

## СПИСОК ЛИТЕРАТУРЫ

1. Баутин С.П. Торнадо и сила Кориолиса. Новосибирск: Наука, 2008. 96 с.
2. Баутин С.П., Крутова И.Ю. Задача о плавном стоке в переменных  $r, t$  как характеристическая задача Коши стандартного вида // Вестник УрГУПС. 2011. №1(9). С. 4-13.
3. Вараксин А.Ю., Ромаш М.Э., Копейцев В.Н. Торнадо. М.: Физматлит, 2011. 344 с.
4. Кочин Н.Е., Кибель И.А., Розе Н.В. Теоретическая гидромеханика. Ч. 1. М.: гос. изд-во физ.-мат. лит-ры, 1963. 583 с.
5. Баутин С.П., Рощупкин А.В. Аналитическое и численное построение решений системы уравнений газовой динамики, имеющих спиральный характер // Вычислительные технологии. 2011. Т. 16. №1. С. 18-29.
6. Жуков А.И. Применение метода характеристик к численному решению одномерных задач газовой динамики // Тр. мат. Ин-та им. В.А. Стеклова. Т. 58. М.: Изд-во АН СССР, 1960. 151 с.
7. Рождественский Б.Л., Яненко Н.Н. Системы квазилинейных уравнений и их приложения к газовой динамике. М.: Наука, 1968. 529 с.
8. Tatom, F.B., Witton, S.J. The transfer of energy from tornado into the ground // Seismological Research Letter. 2001. V. 72. № 1. P. 12-21.